

## 1.2.2 半导体二极管

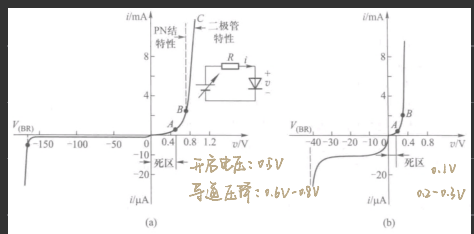


图 1.2.20 整流二极管伏安特性曲线  
(a) 硅二极管 2GP6 (b) 锗二极管 2AP15

$$i = I_s (e^{\frac{v}{nV_T}} - 1)$$

硅的击穿电压 > 锗

反向击穿的机理：雪崩击穿（低掺杂， $> 7V$ ），齐纳击穿（高掺杂， $< 4V$ ）

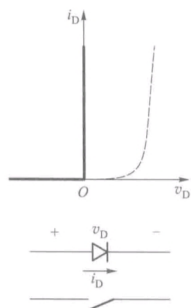
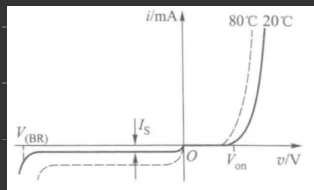


图 1.2.24 二极管的理想模型

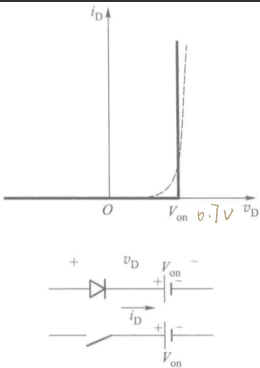


图 1.2.25 二极管的大信号模型

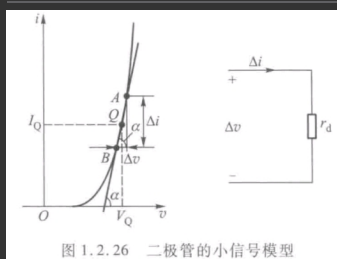
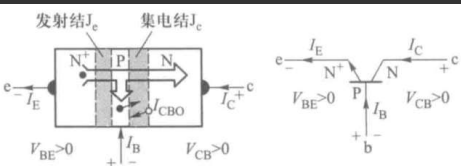
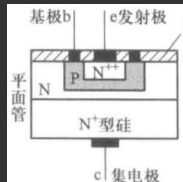


图 1.2.26 二极管的小信号模型

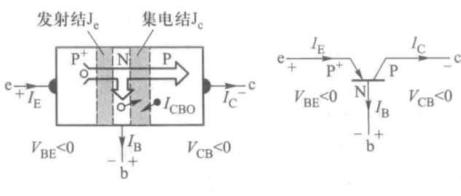
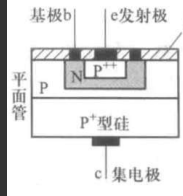
两端电压微小变化导致的电流变化量

$$\text{动态电阻 } r_d = \frac{\Delta V}{\Delta I} \approx \frac{V_T}{I} = \frac{26(mV)}{I_{\infty}(mA)}$$

# 1.2.3 晶体管(BJT)



硅管多 NPN 型



锗管多 PNP 型

发射区浓度远高于集电区

基区很薄，低掺杂

集电结面积大，有利于

收集载流子

(a)

(b)

(c)

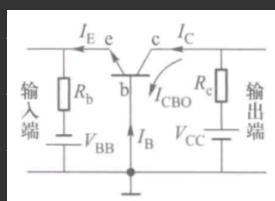
图 1.2.35 NPN 型(平面管)和 PNP 型(平面管)的结构示意图及电路符号

(a) 结构 (b) 示意图 (c) 符号

## 四种工作状态

- ① 放大状态：发射结正偏（以保证  $I_E$  的发送），集电结反偏（以保证  $I_C$  的收集）。这时，BJT 的工作状态称为放大工作状态。
- ② 截止状态：发射结反偏，集电结反偏，称为截止工作状态。
- ③ 饱和状态：发射结正偏，集电结正偏，称为饱和工作状态。
- ④ 倒置状态：发射结反偏，集电结正偏，称为倒置工作状态。

c 不作为输入端，b 不作为输出端



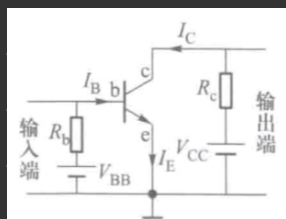
$$I_C < I_E \quad \overline{\alpha} = \frac{I_C}{I_E} \quad \text{无电流放大作用}$$

$$I_E = I_B + I_C$$

$$I_C = \overline{\alpha} I_E + I_{CBO}$$

$$I_B = (1 - \overline{\alpha}) I_E$$

共基连接

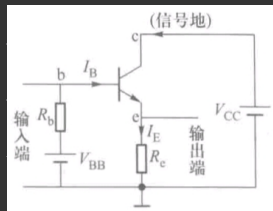


满足  $V_{CE} > V_{BE} > 0.5\text{V}$  时，硅管工作于放大状态。

$$\overline{\beta} = \frac{I_C}{I_B} = \frac{\overline{\alpha}}{1 - \overline{\alpha}}$$

$$I_C = \overline{\beta} I_B + (1 + \overline{\beta}) I_{CBO} = \overline{\beta} I_B + I_{CEO} \approx \overline{\beta} I_B \quad \text{电流放大作用}$$

共射连接



$$I_E = I_B + I_C = (1 + \beta) I_B + I_{CEO} \approx (1 + \beta) I_B \quad \text{具电流放大作用}$$

共集连接

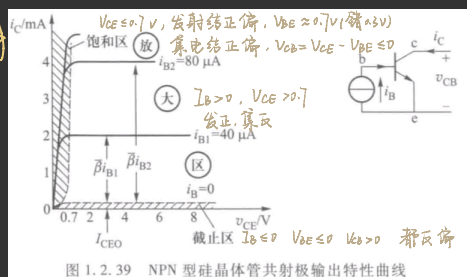
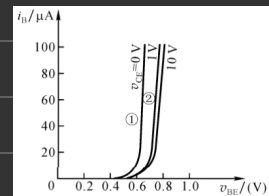


图 1.2.39 NPN 型硅晶体管共射极输出特性曲线

$$I_C = \beta I_B + I_{CEO}$$



输入特性

$$\text{直流通大系数 } \bar{\beta} = \frac{I_C}{I_B} \quad \text{交流通大系数 } \beta = \frac{\Delta I_C}{\Delta I_B}$$

集电结反向饱和电流  $I_{CBO}$

$$\text{穿透电流 } I_{CEO} = (1 + \beta) I_{CBO}$$

集电极最大允许电流  $I_{CM}$

集电极最大允许功率损耗  $P_{CM}$

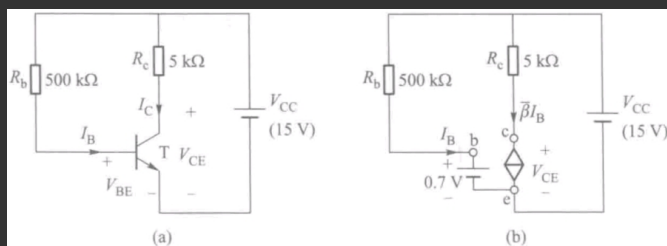


图 1.2.43 放大状态电路图和模型

(a) 电路图 (b) 放大模型

所有  $V_{CE} < 0.7V$  的状态都是饱和状态，饱和状态下的  $V_{CE}$  称为饱和压降  $V_{CES}$

解题时，大都假设 硅  $V_{CES} = 0.3V$ ，锗  $V_{CES} = 0.1V$

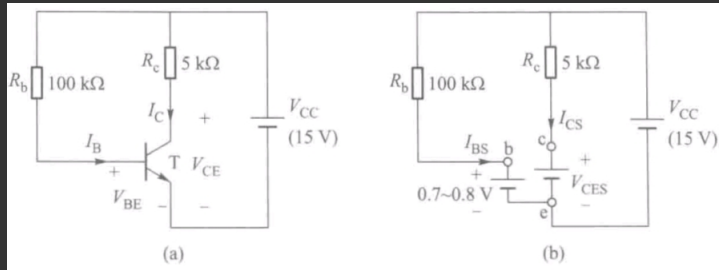


图 1.2.44 饱和状态电路图和模型

(a) 电路图 (b) 饱和模型

判断是否饱和: ① 假设放大,  $V_{CE} \leq 0.7\text{V}$

② 算出临界饱和时 ( $V_{CES} = 0.7\text{V}$ ) 时集电极临界饱和电流  $I_{CS}$  和

基极临界  $I_{BS}$ ,  $I_B \geq I_{BS}$

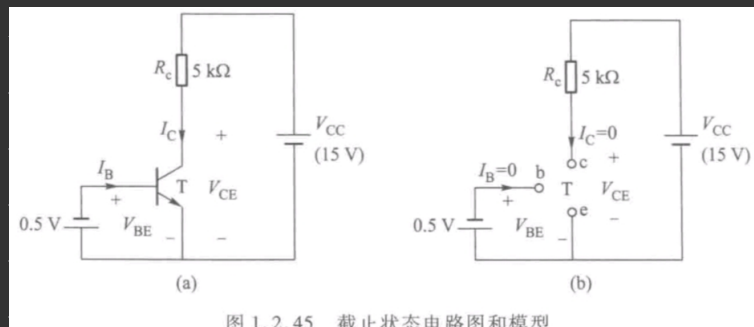


图 1.2.45 截止状态电路图和模型

(a) 电路图 (b) 截止模型

流过BJT的电流为0

## 1.2.4 场效应晶体管(FET)

MOSFET有四种  
一 增强型 /耗尽型  
<sub>(E)</sub>  
<sub>(D)</sub> N沟道 / P沟道

JFET P有耗尽型 N / P

无外加栅源电压 ( $V_{GS}=0$ ), E型  $I_D=0$ , D型  $I_D \neq 0$

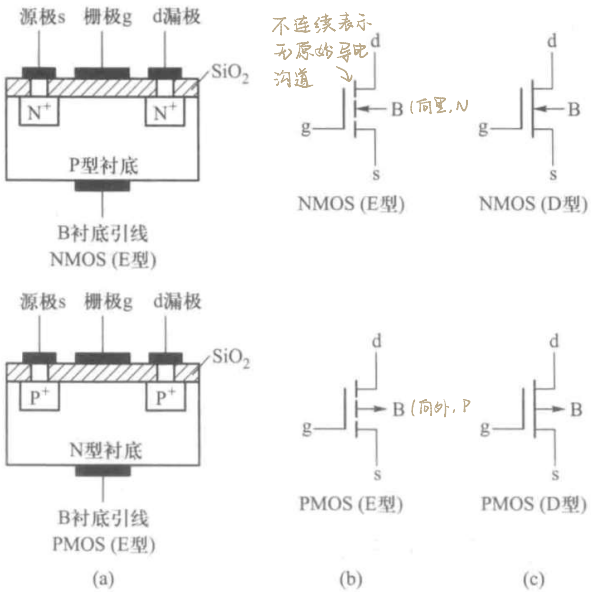


图 1.2.49 MOS 管结构示意图和电路符号

(a) 结构 (b) 增强型电路符号 (c) 耗尽型电路符号

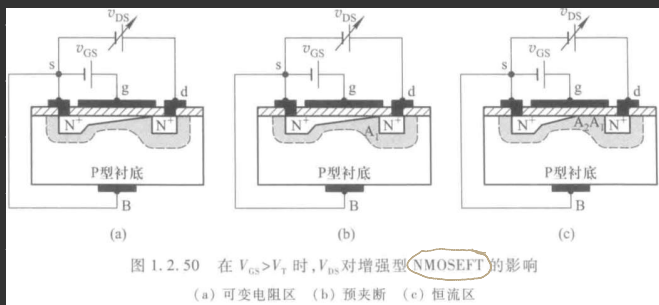


图 1.2.50 在  $V_{GS} > V_T$  时,  $V_{DS}$  对增强型 NMOSFET 的影响

(a) 可变电阻区 (b) 预夹断 (c) 恒流区

①  $V_{GS}=0$  时,  $d-s$  间未形成导电沟道, 呈高阻, 无漏极电流,  $I_D=0$

②  $V_{GS}>0$  时, 栅极和衬底间产生垂直电场 (栅极指向上), 当  $V_{GS} > V_T$  (开启电压), 形成 N 型导电沟道,  $d-s$  间呈现低阻, 在  $V_{DS}$  作用下产生漏极电流  $I_D$ .  $V_{GS} \uparrow$ , 导电沟道变宽,  $d-s$  间  $R \downarrow$ .

$$I_D \uparrow$$

④由于沟道电阻存在,  $I_D$  沿沟道方向产生的电压降又使沟道上电场产生不均匀, 远源端电场差较高, 近似  $V_{GS}$ ; 近漏端电场差较低,  $V_{GD} = V_{GS} - V_{DS}$ .

$V_{DS}$  较小时, 对沟道影响不大, 沟道主要受  $V_{GS}$  控制,  $I_D$  随  $V_{GS}$  ↑ 而 ↑

$V_{DS}$  使  $V_{GD} = V_{GS} - V_{DS} = V_T$ , 远漏极端处出现“取走夹断”(对  $V_{DS} = V_{GS} - V_T$ ), 此后,  $V_{DS} \uparrow$ ,  $I_D \rightarrow$

趋于饱和(即  $I_D$  在  $V_{DS} > V_{GS} - V_T$  后呈恒流特性). 这时, 若要  $I_D$  ↓, 必须加大  $V_{GS}$ , 使沟道增厚.

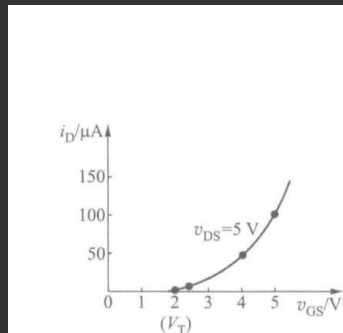


图 1.2.51 增强型 NMOS 管转移特性曲线

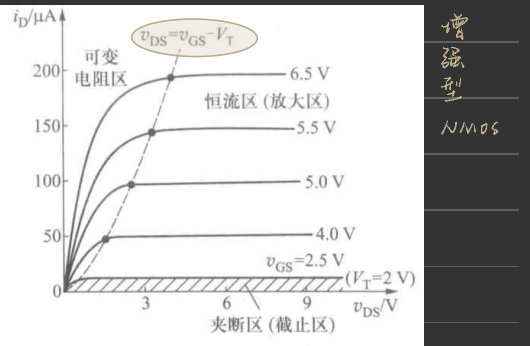


图 1.2.52 增强型 NMOS 管漏极特性曲线

$$I_D = I_{D0} \left( \frac{V_{GS}}{V_T} - 1 \right)^2 \quad I_{D0} \text{ 是 } V_{GS} = 2V_T \text{ 时的 } I_D$$

①可变电阻区  $V_{GS} > V_T$  且  $V_{DS} < V_{GS} - V_T$ . 当  $V_{GS}$  一定,  $I_D$  随  $V_{DS}$  ↑ 而线性↑, 可模拟一个压控电阻  $R_{DS} = \frac{V_{DS}}{I_D}$

②恒流区  $V_{GS} > V_T$  且  $V_{DS} \geq V_{GS} - V_T$ . 该区域内,  $I_D$  主要受  $V_{GS}$  控制, 与  $V_{DS}$  几乎无关, 呈现较好的恒流性

③夹断区(截止区)  $V_{GS} \leq V_T$ ,  $I_D \approx 0$

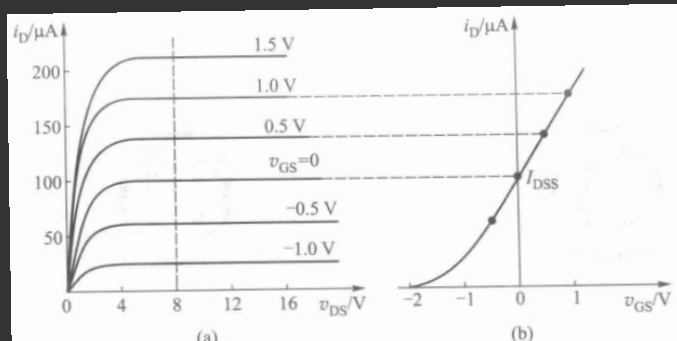


图 1.2.53 耗尽型 NMOS 管的伏安特性曲线

(a) 输出特性 (b) 转移特性

$V_{DS}$ -宽,  $V_{GS}$ ↑时, 导电沟道变厚, 沟道 $R$ ↓,  $I_D$ ↑; 反之,  $V_{GS}$ ↓变为负, 沟道变薄,  $R$ ↑.

$I_{DSS}$ . 当  $V_{GS}$  减小到  $V_{GS} = V_P$  时(关断电压), 导电沟道消失,  $I_D \approx 0$ , FET 截止

方程  $I_D = I_{DSS} \left(1 - \frac{V_{GS}}{V_P}\right)^2$

↑ 饱和漏极电流

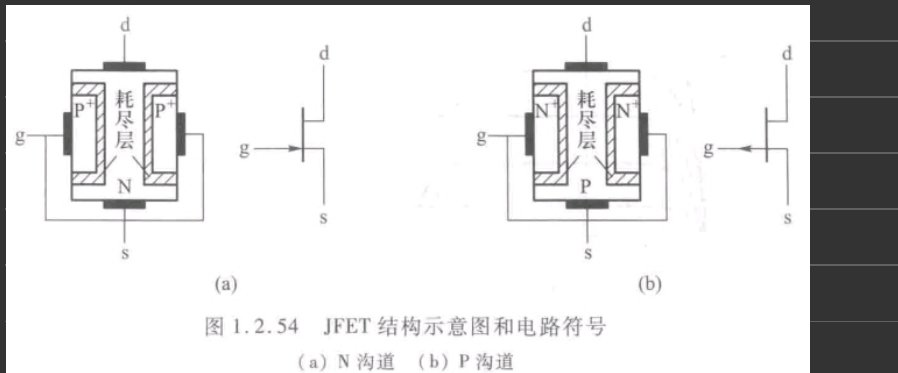


图 1.2.54 JFET 结构示意图和电路符号

(a) N 沟道 (b) P 沟道

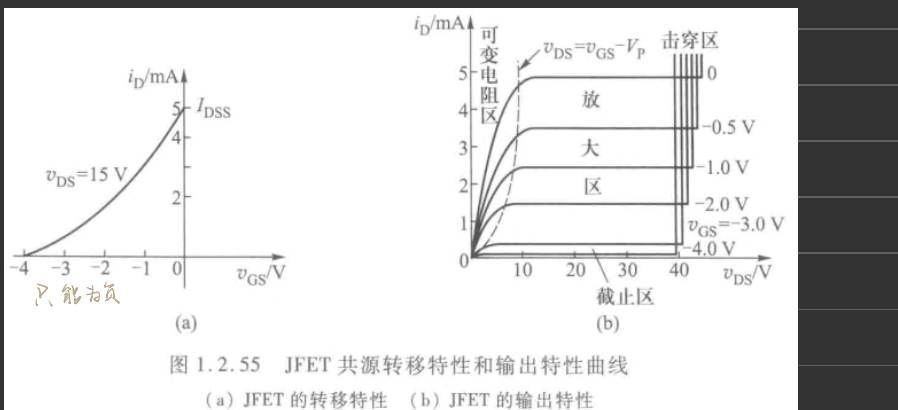


图 1.2.55 JFET 共源转移特性和输出特性曲线

(a) JFET 的转移特性 (b) JFET 的输出特性

交流参数 低频跨导(互导)  $g_m = \frac{\Delta I_D}{\Delta V_{GS}} \Big|_{V_{DS}=\text{常数}} = -\frac{2I_{DSS}}{V_P} \left(1 - \frac{V_{GS}}{V_P}\right) = -\frac{2}{V_P} \sqrt{I_{DSS} I_D}$  增强型 MOSFET

交流输出电阻  $r_{ds} = \frac{\Delta V_{DS}}{\Delta I_D} \Big|_{V_{GS}=\text{常数}}$

$\check{V}_D = I_{DSS} \left(1 - \frac{V_{GS}}{V_P}\right)^2$

| 种类<br>电压      | 增强型  |      | 耗尽型 |     |      |      |
|---------------|------|------|-----|-----|------|------|
|               | NMOS | PMOS | N结型 | P结型 | NMOS | PMOS |
| 栅源电压 $V_{GS}$ | 正    | 负    | 负   | 正   | 负(正) | 正(负) |
| 漏源电压 $V_{DS}$ | 正    | 负    | 正   | 负   | 正    | 负    |

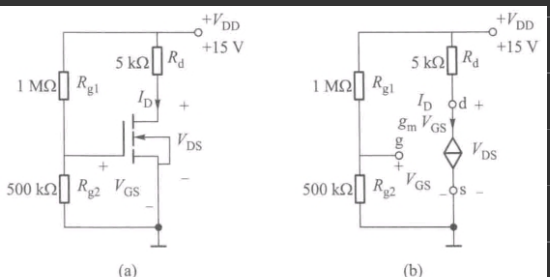


图 1.2.56 NMOS 管放大区电路图和模型

(a) 电路图 (b) 模型

$$I_D = g_m V_{GS}$$

$$V_{GS} > V_T \quad V_{GD} (= V_{GS} - V_{DS}) < V_T$$

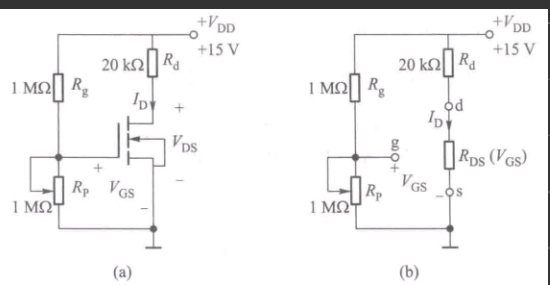
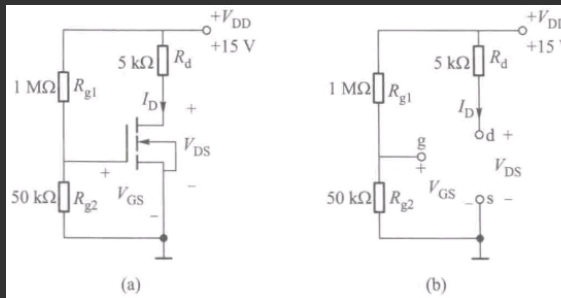


图 1.2.57 NMOS 管可变电阻区电路图和模型

(a) 电路图 (b) 模型

$$V_{GS} > V_T \quad V_{GD} > V_T$$



$$V_{GS} < V_T$$

图 1.2.58 NMOS 管截止区电路图和模型

(a) 电路图 (b) 模型

